

用大规模铁乳胶室研究超高能 γ 族事例*

任敬儒 陆穗苓 苏实 霍安祥

(中国科学院高能物理研究所,北京)

王承瑞 张乃健 何瑁 曹培园 李金玉

(山东大学物理系,济南)

王士智

李光炬 白光治 刘中和

木钧 周文德

(郑州大学物理系)

(重庆建筑学院基础部)

(云南大学物理系,昆明)

摘要

用大规模铁乳胶室观测到 $\sum E_\gamma = 7631 \text{TeV}$ 的大 γ 族事例,介绍了铁乳胶室观测大族的优点和族的各项特征,并与模拟计算结果作了比较。

观测在加速器实验能区(如 10^{15}eV 以内)以上的超高能核作用,或研究高能核作用向前极小发射角锥内的超高能现象(碎裂区的现象),高山乳胶室是较好的探测器。用高山乳胶室进行超高能 γ 族事例的观测,是达到上述目的的直接而有效的途径。为了提高强子的探测效率和改进乳胶室技术,在甘巴拉山利用 300 吨铁板,建起了 57m^2 , 29c.u. (1c.u. = 17.6mm Fe) 厚的乳胶室。铁乳胶室于 1982 年 9 月建立,1984 年 3 月第一次收回底片。乳胶室中的 X 光底片,有樱花牌高速工业 N 型 X 光片,富士 100 型 X 光片,天津高含银量工业 X 光片。为了标定能量,在部份乳胶室单元中,放置了富士 ET7B 核乳胶片。从 5c.u. 开始,每隔 2c.u. 厚的铁板插入一层感光材料。为了换取感光层方便,部分铁乳胶室每 2c.u. 铁板留有 3mm 宽的缝隙,这样不需要完全拆开乳胶室即可更换感光层。在乳胶室底部放置了 9mm 厚的铁板,以屏蔽地面放射性。甘巴拉山铁乳胶室是目前规模最大,高度最高的(海拔 5500m)高山铁乳胶室,它为观测更高能区的现象,研究超高能作用的规律,提供了有利条件。

高能 γ 族是乳胶室上空产生的超高能核作用中,一束近似准直的次级高能粒子照射到乳胶室上形成的一组簇射斑。当高能核作用发生点的位置离乳胶室很近时,次级粒子很集中地照到乳胶室上,由于作用能量高,产生的次级粒子多而密,在乳胶室底片上可能形成“晕”。在铁乳胶室中,电磁级联发展没有铅乳胶室中那样快,所以簇射黑斑比在铅室中的小,在大族中多数黑斑彼此之间是可以分辨的,并可对黑斑逐个进行测量。这也是用铁乳胶室观测大族的优越性。

在这篇文章中,着重分析了到现在为止在甘巴拉山乳胶室观测到的最大 γ 族——

本文 1989 年 12 月 21 日收到。

* 国家自然科学基金资助课题。

K2528事例。估计产生这个事例的初能接近 10^{17} eV。它的各项性质与一般观测能量大于 1000TeV 的 γ 族相近。该族的部分区域虽然形成了晕，但从总体来看，基本上是一个分散的大族。

一、大族 K2528 事例的观测

K2528 事例由 566 个观测能量大于 3TeV 的簇射组成，分布在 $4\text{cm} \times 4\text{cm}$ 的面积上。图 1 为核心部分靶图。这部分有 161 个高能簇射，集中在 8mm 的圆内。

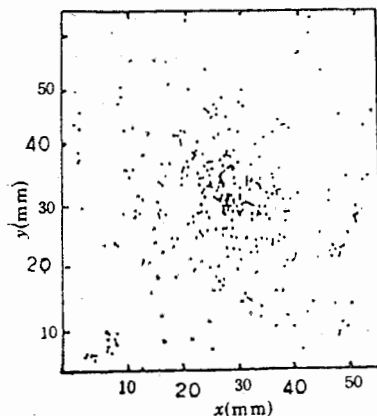


图 1 K2528 事例核心部份靶图

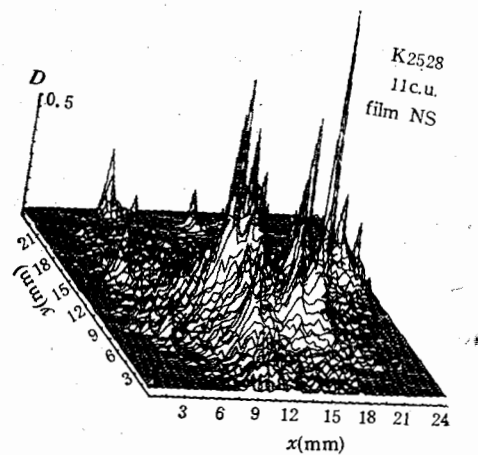


图 2 K2528 事例核心部份黑度分布图

为了得到精确的事例黑度分布，要去掉簇射在 X 光片上、下双层药膜上形成黑斑的相互干扰。用安替福民溶去事例所在部份的下表面药膜。在计算机控制的全自动显微密度计 NGD-17 × 17 上，以 $300 \times 300 \mu\text{m}^2$ 的孔径， $x = 300 \mu\text{m}$ ， $y = 300 \mu\text{m}$ 的步长，在 $3\text{cm} \times 3\text{cm}$ 的面积上，进行细致的自动扫描，得到如图 2 所示的黑度分布。其中 x 、 y 座标是相应黑度 D (z 方向) 的位置座标。图中一个个突出的高峰，是族中特高能量簇射形成的。簇射在 13c.u. 发展到最大。

由于把底片作了单面处理，所以各个簇射分得更清楚。用 $100 \times 100 \mu\text{m}^2$ 的孔径，对 K2528 事例作逐点测量，所测每个簇射的各层黑度，都自动存入磁盘，并与引入 L-M 效应的簇射转换曲线用最小二乘法进行拟合，给出每个簇射能量 E_γ 。事例 K2528 的总观测能量 $\sum E_\gamma = 7631\text{TeV}$ 。逐点测量的同时，也给出簇射斑点相应的座标，精度为 $1 \mu\text{m}$ 。若以能量中心为原点，各簇射的径向位置为 R ，表 1 给出 K2528 事例的各平均量。其中 Δt 表示簇射起始点的深度。当 $\Delta t \leq 6\text{c.u.}$ 时，常认为是 (γ, e) 引起的簇射。

表 1 K2528 事例的各平均量

$\Delta t < (\text{c.u.})$	N	$\langle R \rangle (\text{cm})$	$\langle ER \rangle$ ($\text{TeV} \cdot \text{cm}$)	$\langle E_\gamma \rangle (\text{TeV})$	$\sum E_\gamma (\text{TeV})$
6	455	2.04	19.9	14.9	6800

二、事例的特征

围绕着 K2528 事例的能量中心, 以不同的半径 R 画圆, 作出各环形带内簇射的能谱, 如图 3(a), (b) 所示。从图 3 中可以看出, 事例中观测能量大于 10 TeV 的簇射能谱在 $R < 3\text{cm}$ 范围内对 R 的依赖不敏感。而按核作用运动学关系, 可以得到作用产生的粒子, 高能粒子在中心, 低能粒子在外围, 事例特征对此运动学关系不敏感。说明事例产生点相距乳胶室很远, 中心与外围部份都经过了多次核作用与电磁级联, 使组成族的各簇射分布达到了非常匀称的程度, 对于不同的 R , 能谱形式相近。在族的中心部份中, 低能簇射被高能簇射形成的本底淹没。按照不同 R 环中的簇射能谱, 估计 $R < 10\text{mm}$ 区域内 3—5 TeV 的簇射观测能量为 250 TeV, 相当于总观测能量的 3%。

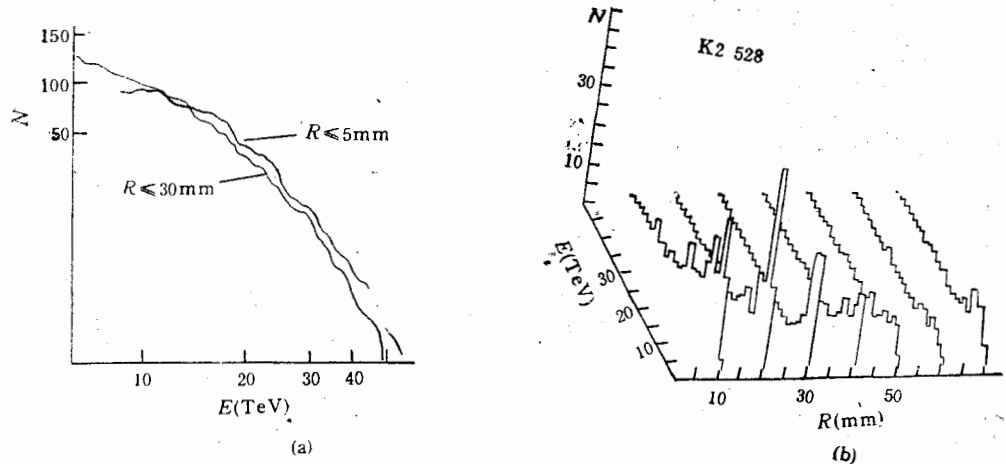


图 3 能谱与 R 的关系

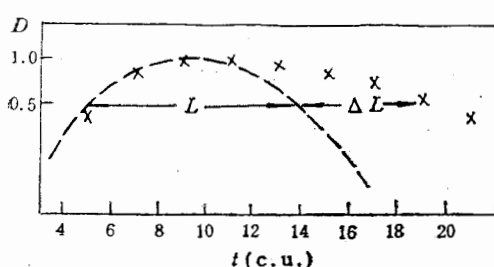


图 4 级联发展曲线的一般形式

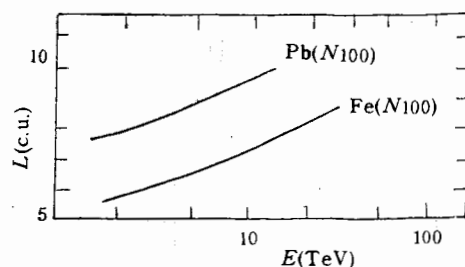


图 5 铁室、铅室级联曲线的半宽度比较

如果利用铅室中晕测量的方法, 并引用铁室中高能单点簇射或小族的能量与黑度值标定能量, 参照工作[2], 可估计出 K2528 事例的总观测能量, 基本上与逐点测量结果一致。但由于 K2528 事例产生高度高, 事例处于分散状态, 不象低空高能核作用那样, 产生粒子集中在很小的区域内形成明显的晕。因此用工作[2]的方法估计 K2528 事例的总观测能量涨落较大。此法对高空产生的大族, 在使用时应慎重。

簇射在不同物质的乳胶室中, 电磁级联发展的曲线形式是不同的。对于最大黑度为

D_{\max} 的簇射, 取乳胶室深度为 t_1 、 t_2 处的黑度为 $D_{\max}/2$, 则穿透深度 $L = t_2 - t_1$ (图 4). 在铁室中有同样能量簇射斑的大小和穿透深度 L 值, 都比铅室的小(图 5). 穿过乳胶室的强子的 L 值要比 γ 线的大, 在铁室中这种强子、 γ 线的 L 值差别会更大, 这就提供了一种在铁室中区分高能 γ 线与强子的可能性.

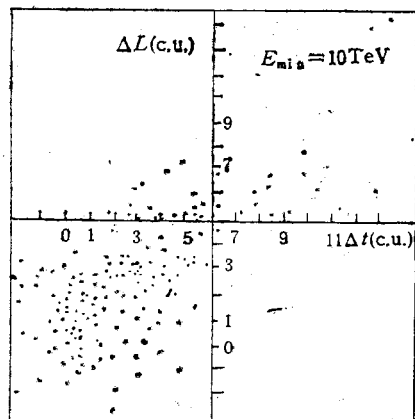


图 6 级联发展的半宽度 ΔL 与起始点深度 Δt 的关系

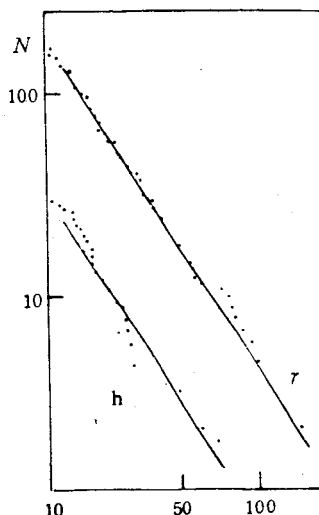


图 7 K2528 事例中的 γ 线能谱与强子能谱

取 K2528 事例中能量大于 10 TeV 的簇射, 起始点深度 Δt 、半宽度 L 的实验值与 γ 电级联模拟计算值之差 ΔL , 作出 ΔL 与 Δt 的关系(图 6). 当 $\Delta t > 6 \text{ c.u.}$ 时(相当于强子引起的簇射), ΔL 值基本上大于 5 c.u. . 甘巴拉山铁乳胶室厚度为 29 c.u. , 可以预计在 $\Delta t > 6 \text{ c.u.}$ 与 $\Delta t < 6 \text{ c.u.}$ 两部份中, 强子与 Fe 核作用的 Fe-jet 数几乎相等. 若认为 $\Delta L > 5 \text{ c.u.}$ 的簇射是强子引起的, 则 γ 线与强子的能量谱如图 7 所示. 这是一个幂函数谱.

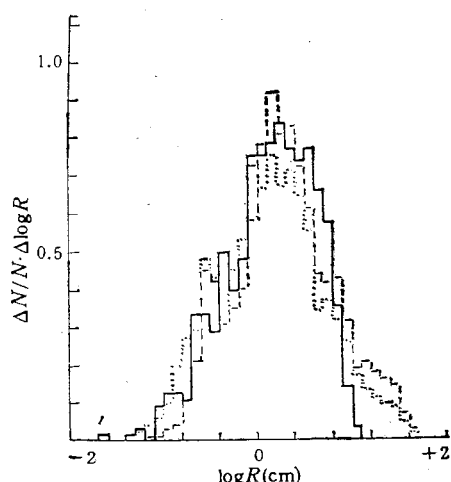


图 8 K2528 事例的 $\log R$ 分布
---- 为 HDSQI 模型(30 例平均),
..... 为 PDSQI 模型(21 例平均)

γ 族中各簇射斑相对能量中心距离 R 的分布, 是与高能核作用中发射角分布相对应的. 取 K2528 事例各斑点的 R , 作出 $\log R$ 分布(图 8), 图中虚线和点线为观测能量大于 1000 TeV 的模拟计算结果. 其中 HD 与 PD 分别表示原初宇宙线成份以重核为主和以质子为主, SQ 表示作用模型是 Scaling + QCD-jet, I 表示作用截面随能量上升^[3]. 实验结果与两种模拟结果符合都很好. 这表明 $\log R$ 分布对两种模拟的模型是不灵敏的.

总之，K2528 事例是目前铁乳胶室观测到的最大能量事例，它是一个有代表性的高空产生的高能 γ 族。由于产生高度高，簇射斑分布比较分散，能谱呈幂函数，族的核心部份随 R 的变化能谱形式相近。在实验方法上，在铁室中产生的族，各簇射可以逐点测量，高能强子也可能用半宽度方法区分，强子探测效率比铅室高^[4]。但铁乳胶室中簇射斑比铅室小，对低能簇射探测不利。

参 考 文 献

- [1] Kasahara, K, 18th ICRC Vol.5 (1983), 283.
- [2] Amenomori, M et al., Proc. Inter. Sym. Cosmic Ray and Particle Physics, 1984 Tokyo 76.
- [3] China-Japan EC Collaboration, 20th ICRC Vol.5 (1987), 316.
- [4] 太田 周, 宇宙線研究, Vol.24 No. 2 (1980), 147.

STUDY ON SUPERHIGH ENERGY γ -RAY FAMILY EVENTS WITH LARGE-SCALE Fe EMULSION CHAMBERS

REN JINGRU LU SUILING SU SHI HUO ANXIANG

(Institute of High Energy Physics, Academia Sinica, Beijing)

WANG CHENGRUI ZHANG NAIJIAN HE MAO CAO PEIYUAN LI JINYU

(Physics Department of Shandong University, Jinan)

WANG SHIZHI

(Physics Department of Zhengzhou University)

LI GUANGJU BAI GUANGZHI LIU ZHONGHE

(Fundamental Department of Chongqing Architecture College)

MU JUN ZHOU WENDE

(Physics Department of Yunnan University, Kunming)

ABSTRACT

Using a large-scale iron emulsion chamber, a big γ -ray family event with observed energy $\sum E_\gamma = 7631 \text{ TeV}$ was obtained. This paper described the advantages of iron emulsion chamber for studying big families and the characteristics of the event observed, together with a comparison with the Monte-carlo simulation results.